

# مدل سازی ترمودینامیکی حلالت کربن دی اکسید در محلول آبی متیل دی اتانول آمین با استفاده از معادله حالت مکعبی به اضافه تجمیعی (CPA)

سید حمید حسینی<sup>\*</sup>، امیر عباس ایزدپناه<sup>+</sup>، حسین رهیله

بوشهر، دانشگاه خلیج فارس، دانشکده مهندسی نفت، گاز و پتروشیمی، گروه مهندسی شیمی

**چکیده:** در این کار، تعادل بخار مایع (VLE) سامانه سه تابی کربن دی اکسید (۱)-آب (۲)-متیل دی اتانول آمین (۳) در بازه‌ی گستردگی دما ( $313\text{--}433\text{ K}$ )، فشار ( $0\text{--}4930\text{ kPa}$ ) و درصد وزنی متیل دی اتانول آمین (۵-۷۵) با استفاده از معادله‌ی حالت مکعبی به اضافه تجمیعی (CPA) مدل سازی شد. مدل سازی سامانه سه تابی کربن دی اکسید-آب-متیل دی اتانول آمین با دو روش متفاوت صورت پذیرفت. روش اول: بهینه سازی پارامترهای انرژی و حجم تجمیعی با فرض این که مقدار پارامتر برهم‌کنش دوتابی ( $\kappa_{ij}$ ) بین کربن دی اکسید و متیل دی اتانول آمین برابر با صفر باشد. روش دوم: متوسط گیری از مقدارهای انرژی تجمیعی به دست آمده در دماهای گوناگون و در درصد های وزنی متفاوت متیل دی اتانول آمین و استفاده از آن برای بهینه سازی پارامتر حجم تجمیعی و نیز پارامتر برهم‌کنش دوتابی بین کربن دی اکسید و متیل دی اتانول آمین. در هر دو روش کربن دی اکسید با دو حالت گوناگون در نظر گرفته شد: ۱) به عنوان یک مولکول تجمیعی با طرح تجمیعی ۴C و ۳B. ۲) به عنوان یک مولکول غیرتجمیعی. نتیجه‌های بدست آمده در این کار هم‌خوانی خوبی با داده‌های آزمایشگاهی برای سامانه سه تابی دارد. مقایسه‌ی نتیجه‌های بدست آمده از مدل Clegg-Pitzer و مدل N-Wilson-NRF نشان می‌دهد که نتیجه‌های بدست آمده از مدل CPA نسبت به هر دو مدل رضایت‌بخش‌تر است. هم چنین نتیجه‌های بدست آمده از به کار بردن طرح تجمیعی ۴C برای کربن دی اکسید در معادله حالت CPA خطای کمتری را نسبت به طرح تجمیعی ۳B و بدون طرح تجمیعی برای کربن دی اکسید، نشان می‌دهد.

**واژه‌های کلیدی:** مواد تجمیعی؛ کربن دی اکسید؛ تعادل فازی؛ معادله‌ی حالت CPA؛ متیل دی اتانول آمین.

**KEY WORDS:** Molybdenum; Molybdenite concentrate; Electrooxidation; Energy consumption, Electrolysis.

## مقدمه

گاز طبیعی دارای ناخالصی‌هایی مانند کربن دی اکسید و هیدروژن سولفید می‌باشد. یکی از روش‌های جداسازی این ناخالصی‌ها استفاده از محلول‌های آکانول آمین‌ها می‌باشد. جذب کربن دی اکسید

+E-mail: izadpanah@pgu.ac.ir

\*عهده دار مکاتبات

جذب گازهای اسیدی با محلول‌های آمین استفاده کردند [۱۶]. در این رویکرد هیچ واکنش شیمیایی خاصی گنجانده نشده و برای مدل‌سازی از این واکنش‌ها استفاده نمی‌شود و به نظر می‌رسد که به جای واکنش‌های شیمیایی از تجمع بین مولکول‌های آمین و کربن دی اکسید و آب استفاده شده است. نصری‌فر و تفضل تعادل بخار – مایع گازهای اسیدی به وسیله محلول‌های آبی آمین را با استفاده از تئوری آماری سیال تجمعی با زنجیره نامنظم (PC-SAFT) ارایه کردند [۱۷].

یکی از معادله‌های حالتی که در دهه گذشته برای مدل‌سازی تعادل‌های فازی گوناگون (و در بسیاری از زمینه‌ها) ارایه شده، معادله حالت CPA می‌باشد. تسمی وینت زلیس و همکاران تعادل فازی مخلوط‌های شامل کربن دی اکسید را با استفاده از معادله حالت تجمعی مکعبی (CPA) مدل‌سازی کردند. آن‌ها با استفاده از معادله حالت CPA مخلوط‌های دوتایی شامل کربن دی اکسید را با آب، الکل و گلایکول مدل‌سازی کردند [۱۸]. ماریانا و همکاران معادله CPA را برای مدل‌سازی سامانه‌های شامل  $\text{CO}_2$  و آلkan‌ها، الكل‌ها، اسیدها و استرها به کار گرفتند [۱۹].

کارشولم و همکاران [۲۰] پارامترهای معادله‌ای حالت CPA را برای آمین‌ها ارایه کردند. آن‌ها پارامترهای معادله حالت CPA را از برآش داده‌های فشار بخار و دانسیته مایع اشباع به دست آوردند. آن‌ها پارامترهای معادله‌ای حالت CPA را برای اتیل آمین، دی اتیل آمین و متیل آمین با درنظر گرفتن طرح تجمعی ۲B برای این آمین‌ها به دست آوردند. آن‌ها برای اتیل آمین طرح ۲B را درنظر گرفته و برای دی اتیل آمین و متیل آمین، هم طرح ۲B و هم طرح ۳B را درنظر گرفته که با توجه به نتیجه‌های بسیار خوب طرح ۲B برای ۲ آمین یاد شده، طرح ۲B را نسبت به طرح ۲B درنظر گرفتند.

آولاند و همکاران [۲۱] پارامترهای معادله حالت CPA را برای ۳ آمین، MEA و MEDA ارایه کردند. این پارامترها با استفاده از داده‌های فشار بخار و دانسیته مایع اشباع به دست آمداند. در این کار برای MEA دو طرح تجمعی ۲B و ۴C در نظر گرفته شد. تفاوت بین طرح ۲B و ۴C بزرگ بودن پارامترهای مدل شده در این سامانه برای طرح ۲B است، که این نشان‌دهنده‌ی کیفیت بهتر طرح ۴C در برابر طرح ۲B است. با توجه به این که طرح ۴C نسبت به طرح ۲B بهتر بود، بنابراین برای هر سه آلکانول آمین، طرح ۴C در نظر گرفته شده است.

بخار – مایع (VLE) سامانه‌های شامل این گازها و محلول‌های آبی آلکانول آمین می‌باشد. مدل سازی ترمودینامیکی برای توصیف فشار جزیی  $\text{CO}_2$  در محلول‌های آبی آلکانول آمین لازم است و می‌تواند به تعیین انرژی لازم برای بازیابی آلکانول آمین‌ها کمک کند. طی چند دهه‌ی اخیر مطالعه‌های فراوانی درمورد مدل سازی جذب گازهای اسیدی در آمین‌ها صورت گرفته است. دانکورتس و همکاران از اولین کسانی بودند که یک مدل ترمودینامیکی برای پیش‌بینی حلالیت کربن دی اکسید در محلول‌های آبی آلکانول آمین را توسعه دادند. آن‌ها از ثابت شبه تعادلی برای واکنش جذب با درنظر گرفتن ضریب فعالیت برابر با یک، استفاده کردند [۲۱]. یکی از اولین مدل‌های گسترده توسط کنت و یزنبیرگ منتشر شد. آن‌ها فشار جزیی  $\text{CO}_2$  و  $\text{H}_2\text{S}$  در محلول‌های آبی آمین را با فرض ضریب فعالیت و فوگاسیته برابر با یک و برآش ثابت تعادل واکنش برای آمین‌ها گسترش دادند [۲۲]. جو و همکاران حلالیت کربن دی اکسید و هیدروژن سولفید را در محلول آبی متیل دی اتانول آمین و مونو اتانول آمین بررسی کردند [۲۳]. دشمناخ و مثیر مدلی را با توجه به محاسبه ضریب فعالیت و فوگاسیته بر اساس نظریه دبای – هوکل و معادله‌های گوگنهام گسترش دادند [۲۴]. وستگن و همکاران [۵] و پوسی و روچل [۶] یک چهارچوب ترمودینامیکی برای پیش‌بینی حلالیت گازهای اسیدی در محلول‌های آبی آمین بر پایه معادله الکتروولیتی NRTL را گسترش دادند. گابریلسون و همکاران با ترکیب ثابت واکنش شیمیایی و ثابت هنری یک معادله مناسب برای تخمین فشار جزیی  $\text{CO}_2$  در محلول‌های آبی آمین ارایه کردند [۷]. حق‌طلب و شجاعیان با استفاده از فاکتور غیرتصادفی و غیرالکتروولیتی ویلسون (N-Wilson-NRF) مدلی برای پیش‌بینی حلالیت گازهای اسیدی در محلول‌های آبی آمین ارایه کردند [۸]. هم‌چنین حق‌طلب و تفتی حلالیت گازهای اسیدی را در محلول‌های آلکانول آمین به وسیله مدل غیرتصادفی و الکتروولیتی UNIQUAC مورد مطالعه قرار دادند [۹]. گوهرخی و همکاران نیز مدلی را برای تخمین حلالیت دی اکسید کربن در محلول‌های آبی آمین ارایه نمودند [۱۰].

آردوندو و مدیروز [۱۱]، ذوقی و همکاران [۱۲]، حق‌طلب و مظلومی [۱۳]، والی و همکاران [۱۴] و چانکسی و فورست [۱۵] سامانه جذب  $\text{CO}_2$  در محلول‌های آبی آمین را براساس معادله‌های حالت الکتروولیتی مورد بررسی قرار دادند. هم‌چنین باتون و همکاران از نظریه آماری سیال تجمعی (SAFT) برای توصیف سامانه

$g$ تابع توزیع شعاعی است که به صورت معادله (۶) تعریف می‌شود.

$$g(\rho) = \frac{1}{1 - \frac{1}{\rho} \eta}, \quad \eta = \frac{1}{4} b\rho \quad (6)$$

و دو پارامتر  $\beta^{AiBj}$  و  $\varepsilon^{AiBj}$  به ترتیب پارامترهای انرژی تجمیعی و حجم تجمیعی می‌باشند.

توسعه‌ی معادله‌ی CPA برای مخلوط‌ها، به قوانین اختلاط برای پارامترهای  $a$  و  $b$  در بخش فیزیکی معادله‌ی CPA می‌باشد. معادله‌ی CPA نیاز دارد و به طور معمول، قانون‌های اختلاط کلاسیک و اندروالس به صورت زیر به کار می‌رود:

$$a = \sum \sum x_i x_j a_{ij}, \quad a_{ij} = \sqrt{x_i x_j} (1 - k_{ij}), \quad b = \sum x_i b_i \quad (7)$$

همچنین توسعه‌ی معادله‌ی CPA برای مخلوط نیازمند قانون‌های ترکیب برای بخش تجمیعی است که برخی از این قانون‌ها به صورت زیر است [۱۷]:

$$\text{The Elliott rule:} \quad \Delta^{AiBj} = \sqrt{\Delta^{AiBi} \cdot \Delta^{AjBj}} \quad (8)$$

$$\text{CR-1:} \quad \varepsilon^{AiBj} = \frac{\varepsilon^{AiBi} + \varepsilon^{AjBj}}{2}, \quad \beta^{AiBj} = \sqrt{\beta^{AiBi} \cdot \beta^{AjBj}} \quad (9)$$

### نتیجه‌ها و بحث پارامترهای جزء خالص

مطابق با مدل CPA، برای ترکیب‌های خالص تجمیعی به سه پارامتر  $a_0$ ،  $c_0$  و  $\varepsilon^{AiBi}$  برای بخش فیزیکی (SRK) و دو پارامتر  $\beta^{AiBi}$  برای بخش تجمیعی مورد نیاز است. پارامترهای ترکیب‌های خالص، استفاده شده در این کار در جدول ۱ گزارش شده است که این مقدارها از مرجع‌های [۲۱-۲۳] اقتباس شده است.

### روش اول

برای سامانه سه تایی کربن دی اکسید، آب و متیل دی اتانول آمین، احتیاج به دو پارامتر انرژی و حجم تجمیعی مربوط به همه سامانه‌های دوتایی شامل آن مواد خالص می‌باشد. پارامترهای مربوط به انرژی و حجم تجمیعی بین کربن دی اکسید و آب از مرجع [۱۸] برگرفته شده است که این داده‌ها در جدول ۲ آورده شده‌اند. این پارامترها بین آب و متیل دی اتانول آمین با استفاده از معادله (۹) محاسبه شده‌اند. چون داده‌های تعادلی برای سامانه دو جزئی کربن دی اکسید و متیل دی اتانول آمین وجود ندارد

با توجه به این که معادله‌ی حالت CPA نتیجه‌های رضایت‌بخشی برای پیش‌بینی ویژگی‌های مواد تجمیعی و مخلوط‌های آن‌ها از خود نشان داده و کاربرد این معادله‌ی حالت برای مخلوط‌هایی شامل کربن دی اکسید، آب و آلانول آمین‌ها، در این کار تلاش می‌شود با استفاده از این معادله‌ی حالت، حلالیت کربن دی اکسید در محلول‌های آبی متیل دی اتانول آمین مورد بررسی قرار گرفته و نتیجه‌های به دست آمده از این کار با نتیجه‌های تجربی مورد مقایسه قرار گیرد تا دقیقت این مدل برای این نوع سامانه‌ها مشخص شود.

### بخش نظری

معادله‌ی حالت CPA ترکیبی از معادله‌ی حالت SRK و بخش تجمیعی است که به شرح زیر است: ضریب تراکم پذیری  $Z$  برای این معادله به صورت معادله (۱) نوشته می‌شود.

$$Z^{CPA} = Z^{SRK} + Z^{\text{assoc}} \quad (1)$$

که در آن ضریب تراکم پذیری معادله‌ی حالت SRK به شکل زیر می‌باشد.

$$Z^{SRK} = \frac{v}{v - b} - \frac{a(T)}{RT(v + b)} \quad (2)$$

و ضریب تراکم پذیری مربوط به بخش تجمیعی به شکل زیر می‌باشد:

$$Z^{\text{assoc}} = -\frac{1}{2}(1 + v) \frac{\partial \ln g}{\partial v} \sum_i x_i \sum_{Ai} (1 - X_{Ai}) \quad (3)$$

که  $v$  حجم مولی،  $x_i$  کسر مولی جزء  $i$  و  $X_{Ai}$  کسری از سایت‌های تجمیعی  $A$  روی مولکول  $i$  است که با سایت‌های دیگر پیوند برقرار نکرده‌اند و با استفاده از رابطه زیر به دست می‌آید:

$$X_{Ai} = \frac{1}{1 + \rho \sum_j x_j \sum_{Bj} X_{Bj} \Delta^{AiBj}} \quad (4)$$

در معادله فوق قدرت تجمیعی یعنی  $(\Delta^{AiBj})$  با استفاده از معادله‌ی زیر تعریف می‌شود:

$$\Delta^{AiBj} = g(\rho) \left[ \exp \left( \frac{\varepsilon^{AiBj}}{RT} - 1 \right) \right] b_{ij} \beta^{AiBj} \quad (5)$$

جدول ۱- مقدارهای پارامترهای معادله حالت CPA

$\beta^{A_j B_j}$	$\varepsilon^{A_j B_j} \text{ (bar} \cdot \text{L/mol)}$	C1	b (L/mol)	$a_0 \text{ (bar} \cdot \text{L}^2/\text{mol}^2)$	Tc (K)	طرح تجمعی	سیل
۰,۰۶۹۲	۱۶۶,۵۵	۰,۶۷۳۶	۰,۰۱۴۵	۱,۲۲۷۷	۶۴۷,۳	۴C	آب
۰,۰۳۳۲	۱۶۱,۵۹	۱,۳۳۷۱	۰,۱۱۱۴	۲۱,۶۵۹		۴C	متیل دی اتانول آمین
-	-	۰,۷۶۰۲	۰,۰۲۷۲	۳,۵۰۷۹		-	کربن دی اکسید
۰,۰۴۱۱	۵۱,۶۸	۰,۶۷۰۳	۰,۰۲۸۱	۳,۰۵۵۸		۳B	
۰,۰۲۹۷	۳۹,۲۳	۰,۶۹۱۴	۰,۰۲۸۴	۳,۱۴۰۴		۴C	

جدول ۲- پارامترهای انرژی، حجم تجمعی و برهم کنش دوتایی بین آب و کربن دی اکسید [۱۸].

$k_{ij}$	$\beta^{CO_2-H_2O}$	$\varepsilon^{CO_2-H_2O} \text{ (bar} \cdot \text{L/mol)}$	طرح تجمعی کربن دی اکسید
۰,۱۲۵۲	۰,۰۰۷۹	۱۴۲	-
۰,۰۱۷۳	۰,۰۰۴	۱۴۲	۳B
۰,۰۳۰۰	۰,۰۰۳	۱۴۲	۴C

مقدارهای بهینه‌سازی شده پارامترهای انرژی و حجم تجمعی بین  $CO_2$  و متیل دی اتانول آمین در دماهای گوناگون و در درصدهای وزنی متفاوت آمین با طرح‌های تجمعی متفاوت برای  $CO_2$ ، در جدول‌های ۳ تا ۵ گزارش شده است.

مقدارهای محاسبه شده فشار جزیی کربن دی اکسید با مقدارهای آزمایشگاهی، در شکل‌های ۱ تا ۴ مقایسه شده‌اند. با توجه به جدول‌های ۳ تا ۵ و شکل‌های ۱ تا ۴، با افزایش دما میزان انحراف از مقدارهای تجربی در همه حالت‌ها بیشتر شده است که این امر نشان دهنده حساسیت معادله حالت CPA نسبت به تغییر دمایی می‌باشد. هم چنین طرح تجمعی ۴C کمترین میزان خطا را نسبت به دو طرح تجمعی دیگر نشان می‌دهد. بنابراین، نتیجه‌های به دست آمده از طرح تجمعی ۴C با مدل‌های Clegg-Pitzer و N-Wilson-NRF در جدول ۶ مقایسه شده است.

## روش دوم

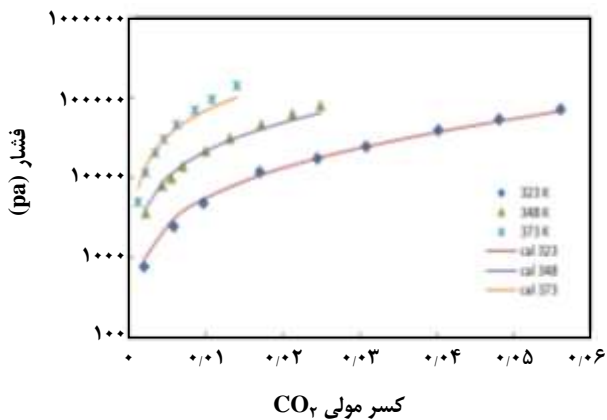
در این روش از مقدارهای پارامتر انرژی تجمعی در هر درصد وزنی آمین در دماهای متفاوت متوسط گیری شده است و با استفاده از این مقدارها، پارامتر حجم تجمعی و نیز پارامتر برهم کنش دوتایی بین کربن دی اکسید و متیل دی اتانول آمین بهینه سازی شده است. مقدارهای پارامترهای حجم تجمعی و پارامتر برهم کنش دوتایی به دست آمده از این روش در جدول ۷ گزارش شده است.

بنابراین پارامترهای انرژی و حجم تجمعی بین کربن دی اکسید و متیل دی اتانول آمین با استفاده از سامانه سه جزیی و با بهینه‌سازی به دست آمده است. افزون بر این، برای مدل‌سازی این سامانه سه تابی، پارامتر برهم کنش دوتایی ( $k_{ij}$ ) مربوط به سامانه‌های دوتایی شامل این مواد خالص مورد نیاز می‌باشد. در این روش پارامتر برهم کنش دوتایی بین آب و متیل دی اتانول آمین را برابر با  $-0,087$  در نظر گرفته که این مقدار از مرجع [۲۱] اقتباس شده است. هم چنین این پارامتر بین کربن دی اکسید و متیل دی اتانول آمین برابر با صفر در نظر گرفته شده است. پارامتر برهم کنش دوتایی بین کربن دی اکسید و آب در جدول ۲ گزارش شده است.

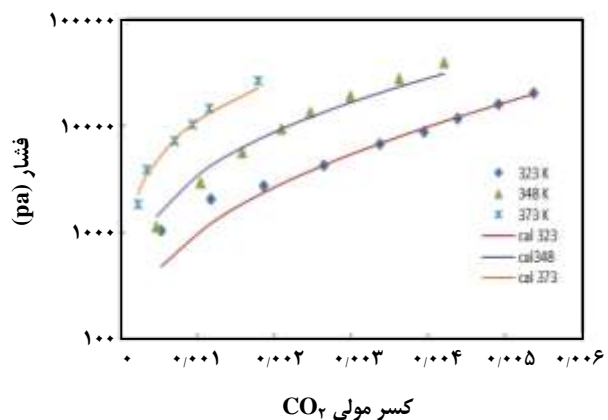
در این کار برای بهینه‌سازی پارامترهای انرژی و حجم تجمعی بین کربن دی اکسید و متیل دی اتانول آمین از سامانه سه تابی کربن دی اکسید، آب و متیل دی اتانول آمین استفاده شده و تابع هدف زیر به کار برده شده است.

$$OF = \frac{1}{n} \sum_n \left| \frac{(P_{CO_2})_{cal} - (P_{CO_2})_{exp}}{(P_{CO_2})_{exp}} \right| \quad (10)$$

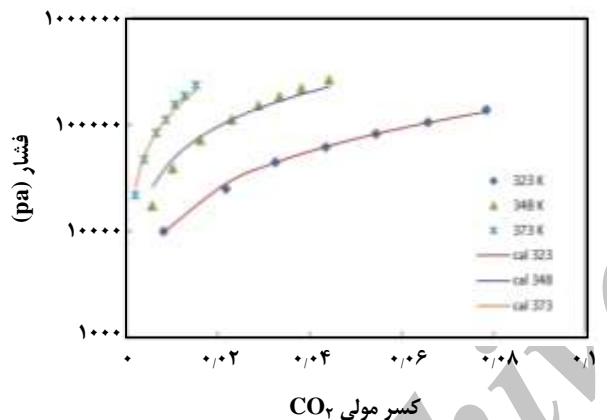
که  $n$  تعداد نقاط آزمایشگاهی،  $(P_{CO_2})_{cal}$  و  $(P_{CO_2})_{exp}$  به ترتیب مقدار محاسبه شده و آزمایشگاهی فشار جزیی  $CO_2$  در فاز گاز می‌باشند. برای محاسبه فشار جزیی کربن دی اکسید در این سامانه سه جزیی از محاسبه‌های نقطه حباب استفاده شده است.



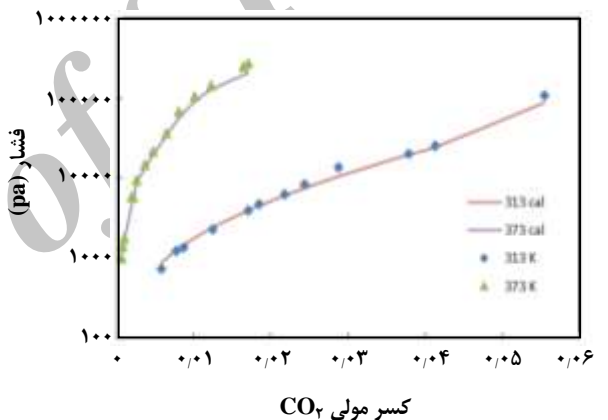
شکل ۳- مقادرهای تجربی و محاسبه شده فشار جزئی کربن دی اکسید با طرح  $4^{\circ}\text{C}$  در محلول آبی حاوی ۵۰ درصد وزنی آمین، داده‌های آزمایشگاهی از مرجع [۲۴].



شکل ۱- مقادرهای تجربی و محاسبه شده فشار جزئی کربن دی اکسید با طرح تجمعی  $4^{\circ}\text{C}$  در محلول آبی حاوی ۵ درصد وزنی آمین، داده‌های آزمایشگاهی از مرجع [۲۴].



شکل ۴- مقادرهای تجربی و محاسبه شده فشار جزئی کربن دی اکسید با طرح تجمعی  $4^{\circ}\text{C}$  در محلول آبی حاوی ۷۵ درصد وزنی آمین، داده‌های آزمایشگاهی از مرجع [۲۴].



شکل ۲- مقادرهای تجربی و محاسبه شده فشار جزئی کربن دی اکسید با طرح تجمعی  $4^{\circ}\text{C}$  در محلول آبی حاوی ۳۵ درصد وزنی آمین، داده‌های آزمایشگاهی از مرجع [۲۵].

هر چند از لحاظ ترمودینامیکی در کل انرژی تجمعی بین دو ماده تجمعی تابعی از دما می‌باشد. چون تجمع نیز در دماهای بالا ضعیف شده و با شدت کمتری رخ می‌دهد. با توجه به جدول ۷ می‌توان دید که بیشتر تغییرهای انرژی تجمعی بین  $\text{CO}_2$  و متیل در اتانول آمین با غلظت آمین دیده می‌شود. این رفتار در شکل ۹ نشان داده شده است.

در روش به کار برده شده در این کار برای محاسبه حلالیت کربن دی اکسید در محلول آبی متیل دی اتانول آمین تنها فرض شده است که کربن دی اکسید با آب و متیل دی اتانول آمین تجمع جانبی (پیوند هیدروژنی) برقرار می‌کند. این نتیجه‌ها نشان می‌دهد

در این روش نیز استفاده از طرح تجمعی  $4^{\circ}\text{C}$  نسبت به طرح‌های تجمعی دیگر به کمترین میزان خطا منجر می‌شود به همین دلیل در این کار نتیجه‌های به دست آمده از این طرح آورده شده است. مقادرهای محاسبه شده فشار جزئی کربن دی اکسید با روش دوم با مقادرهای آزمایشگاهی، در شکل‌های ۵ تا ۸ مقایسه شده‌اند.

مقادرهای به دست آمده برای انرژی تجمعی در روش اول نشان می‌دهد که با دقت خوبی برای بازه دمایی به کار رفته در این کار می‌توان انرژی تجمعی بین  $\text{CO}_2$  و متیل دی اتانول آمین را مستقل از دما در نظر گرفت. کما این که در روش دوم هم این کار صورت گرفته و نتیجه‌ها با روش اول تفاوت چندانی ندارد.

جدول ۳- مقدارهای بهینه شده پارامترهای انرژی و حجم تجمعی بین کربن دی اکسید با طرح تجمعی ۴C و مدل دی اتانول آمین.

درصد خطای متوسط مطلق	$\beta^{\text{CO}_2\text{-MDEA}}$	$\epsilon^{\text{CO}_2\text{-MDEA}}$ (bar.L/mol)	دما (کلوین)	درصد وزنی MDEA
۱۳/۷۵	۰/۰۲۷۳۲	۲۸۳/۳	۳۲۳	۵
۱۴/۸۳	۰/۰۲۷۳۲	۲۸۸/۰۷	۳۴۸	
۱۰/۶۶	۰/۰۲۷۳۲	۲۹۰/۱۸	۳۷۳	
۲۴/۲۵	۰/۰۲۷۳۲	۲۴۸/۰۱	۳۷۳	۱۶/۸
۳۱/۸۹	۰/۰۲۷۳۲	۲۴۳/۹۹	۴۱۳	
۳۲/۱۶	۰/۰۲۷۳۲	۲۳۹/۳۷	۴۳۳	۲۰/۵
۱۵/۲۱	۰/۰۱۵۷۰	۲۵۷/۹۰	۳۲۳	
۱۲/۴۰	۰/۰۱۵۷۰	۲۵۹/۷۰	۳۴۸	
۲۶/۳۸	۰/۰۱۵۷۰	۲۶۱/۶۰	۳۷۳	۳۰
۱۲/۵۶	۰/۰۲۷۳۲	۲۳۲/۹۵	۳۱۳	
۲۳/۲۸	۰/۰۲۷۳۲	۲۳۶/۲۹	۳۵۳	
۸/۲۳	۰/۰۲۷۳۲	۲۲۷/۵۲	۳۱۳	۳۵
۱۲/۱۳	۰/۰۲۷۳۲	۲۳۳/۹۵	۳۷۳	
۹/۰۷	۰/۰۲۷۳۲	۲۰۴/۳۳	۳۲۳	۵۰
۱۰/۸۲	۰/۰۲۷۳۲	۲۰۱/۸۲	۳۴۸	
۱۹/۰۱	۰/۰۲۷۳۲	۱۹۶/۷۹	۳۷۳	
۳/۰۹	۰/۰۲۷۳۲	۱۶۷/۱۷	۳۲۳	۷۵
۱۴/۷۲	۰/۰۲۷۳۲	۱۵۸/۹۴	۳۴۸	
۹/۳۲	۰/۰۲۷۳۲	۱۴۹/۱۰	۳۷۳	

جدول ۴- مقدارهای بهینه شده پارامترهای انرژی و حجم تجمعی بین کربن دی اکسید با طرح تجمعی ۳B و متیل دی اتانول آمین.

درصد خطا متوسط مطلق	$\beta^{\text{CO}_2\text{-MDEA}}$	$\varepsilon^{\text{CO}_2\text{-MDEA}}$ (bar.L/mol)	دما (کلوین)	درصد وزنی MDEA
۱۲/۲۷	۰/۰۰۴	۳۵۰/۵۹	۳۲۳	۵
۱۸/۰۷	۰/۰۰۴	۳۵۹/۸۷	۳۴۸	
۱۱/۰۶	۰/۰۰۴	۳۶۵/۸۰	۳۷۳	
۲۵/۶۲	۰/۰۰۴	۳۲۲/۱۲	۳۷۳	
۳۲/۱۵	۰/۰۰۴	۳۲۴/۸۹	۴۱۳	
۳۲/۲۷	۰/۰۰۴	۳۲۲/۶۲	۴۲۳	۱۶/۸
۱۶/۲۶	۰/۰۰۴	۳۱۰/۲۰	۳۲۳	
۱۵/۱۷	۰/۰۰۴	۳۱۵/۷۵	۳۴۸	
۲۷/۵۳	۰/۰۰۴	۳۱۹/۵۳	۳۷۳	
۱۵/۲۳	۰/۰۰۵	۲۹۴/۷۷	۳۱۳	
۲۶/۳۶	۰/۰۰۵	۳۰۳/۶۰	۳۵۳	۳۰
۱۲/۴۹	۰/۰۰۴	۲۹۴/۸۰	۳۱۳	
۱۴/۲۶	۰/۰۰۴	۳۰۹/۰۳	۳۷۳	
۱۱/۷۷	۰/۰۰۵	۲۶۵/۷۲	۳۲۳	
۱۱/۲۴	۰/۰۰۵	۲۶۶/۳۱	۳۴۸	
۱۹/۰۹	۰/۰۰۵	۲۶۳/۹۰	۳۷۳	۵۰
۳/۰۵	۰/۰۰۵	۲۲۶/۴۰	۳۲۳	
۱۴/۳۹	۰/۰۰۵	۲۲۰/۹۱	۳۴۸	
۹/۱۹	۰/۰۰۵	۲۱۳/۸۰	۳۷۳	
				۷۵

جدول ۵ - مقادرهای بهینه شده پارامترهای انرژی و حجم تجمعی بین کربن دی اکسید بدون طرح تجمعی و متیل دی اتانول آمین.

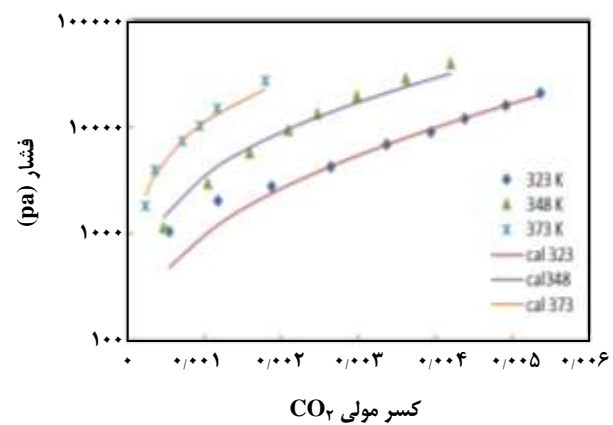
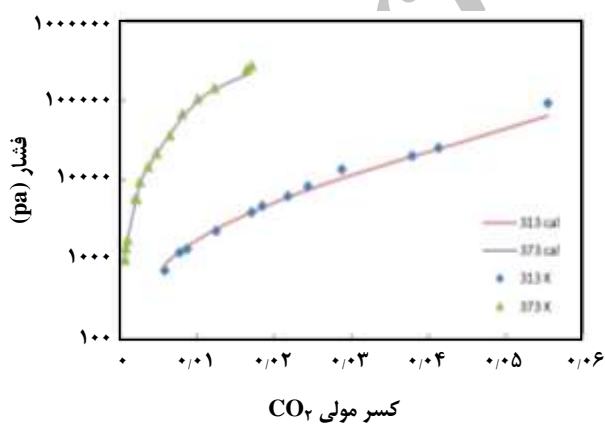
درصد خطای متوسط مطلق	$\beta^{\text{CO}_2\text{-MDEA}}$	$\varepsilon^{\text{CO}_2\text{-MDEA}}$ (bar.L/mol)	دما (کلوین)	درصد وزنی MDEA
۱۱,۷۷	۰,۰۰۵	۳۶۶,۱۰	۳۲۳	۵
۱۷,۹۹	۰,۰۰۵	۳۷۵,۷۰	۳۴۸	
۱۱,۰۷	۰,۰۰۵	۳۷۶,۵۰	۳۷۳	
۲۲,۵۲	۰,۰۰۴	۳۴۰,۶۲	۳۷۳	۱۶,۸
۳۱,۶۳	۰,۰۰۴	۳۳۷,۵۹	۴۱۳	
۳۲,۴۵	۰,۰۰۴	۳۳۱,۷۲	۴۳۳	
۱۲,۸۸	۰,۰۰۴	۳۳۴,۴۰	۳۲۳	۲۰,۵
۱۲,۰۱	۰,۰۰۴	۳۳۶,۷۰	۳۴۸	
۳۶,۰۱	۰,۰۰۴	۳۳۹,۴۴	۳۷۳	
۱۳,۱۶	۰,۰۰۵	۳۲۰,۱۱	۳۱۳	۳۰
۲۴,۸۹	۰,۰۰۵	۳۲۶,۴۰	۳۵۳	
۸,۳۶	۰,۰۰۵	۳۱۵,۰۸	۳۱۳	
۱۴,۳۴	۰,۰۰۵	۳۲۵,۲۰	۳۷۳	۳۵
۵,۰۱	۰,۰۰۵	۲۸۷,۷۵	۳۲۳	
۹,۰۱	۰,۰۰۵	۲۸۴,۶۰	۳۴۸	
۱۸,۰۳	۰,۰۰۵	۲۷۹,۲۵	۳۷۳	۵۰
۵,۰۲	۰,۰۰۵	۲۴۳,۸۸	۳۲۳	
۱۱,۹۶	۰,۰۰۵	۲۳۲,۷۰	۳۴۸	
۸,۹۲	۰,۰۰۵	۲۲۱,۶۰	۳۷۳	۷۵

جدول ۶ - مقایسه بین نتیجه‌های به دست آمده از مدل CPA با طرح تجمعی ۴C CO<sub>2</sub> برای سایر مدل‌ها در دماهای ۳۱۳ و ۳۷۳ کلوین در محلول آبی حاوی ۳۵ درصد آمین.

درصد خطای میانگین در دماهای گوناگون	تعداد پارامترها	مرجع	مدل
۱۹,۴	۵	[۲۶]	Clegg-Pitzer
۲۵,۷	۶	[۸]	N-Wilson-NRF
۱۰,۲	۲	این کار	CPA

جدول ۷ - مقدارهای بهینه شده پارامترهای حجم تجمعی  $\beta^{AB}$  و ضریب اثر متقابل ( $k_{ij}$ ) بین کربن دی اکسید با طرح تجمعی ۴C و متیل دی اتانول آمین.

درصد خطا متوسط مطلق	$k_{CO_2-MDEA}$	$\beta_{CO_2-MDEA}$	$\epsilon_{CO_2-MDEA}$ (bar.L/mol)	دما (کلوین)	MDEA وزنی
۱۳/۷۲	۰/۰۰۱۸۰	۰/۰۲۳۶۴	۲۸۷/۱۸	۳۲۳	۵
۱۴/۸۱	۰/۰۰۱۱۰	۰/۰۲۸۱۳		۳۴۸	
۱۰/۵۷	۰/۰۰۲۱۰	۰/۰۳۰۲۰		۳۷۳	
۲۴/۲۳	۰/۰۰۳۰۰	۰/۰۳۱۳۲	۲۴۳/۷۹	۳۷۳	۱۶/۸
۳۱/۸۹	۰/۰۰۲۰۰	۰/۰۲۷۴۶		۴۱۳	
۳۲/۱۵	۰/۰۰۴۰۰	۰/۰۲۴۲۲		۴۳۳	
۱۵/۲۵	۰/۰۰۰۶۰	۰/۰۱۴۷۸	۲۵۹/۷۳	۳۲۳	۲۰/۵
۱۲/۳۹	۰/۰۰۰۸۰	۰/۰۱۵۷۲		۳۴۸	
۲۶/۲۹	۰/۰۰۰۹۰	۰/۰۱۶۵۰		۳۷۳	
۱۲/۵۱	-۰/۰۰۲۰۰	۰/۰۲۵۶۷	۲۳۴/۶۲	۳۱۳	۳۰
۲۲/۹	-۰/۰۰۱۰۰	۰/۰۲۸۶۸		۳۵۳	
۸/۲۱	۰/۰۰۲۱۰	۰/۰۲۴۱۲	۲۳۰/۷۴	۳۱۳	۳۵
۷/۵	۰/۰۰۱۰۰	۰/۰۲۹۰۹		۳۷۳	
۹/۰۶	۰/۰۰۱۰۰	۰/۰۳۱۰۰	۲۰۰/۹۸	۳۲۳	۵۰
۱۰/۵۶	۰/۰۰۱۰۰	۰/۰۲۸۷۴		۳۴۸	
۱۹/۰۳	۰/۰۰۱۳۰	۰/۰۲۳۸۷		۳۷۳	
۳/۰۸	-۰/۰۰۰۱۰	۰/۰۳۷۹۰	۱۵۸/۴۰	۳۲۳	۷۵
۱۴/۷۶	-۰/۰۰۰۲۰	۰/۰۲۷۸		۳۴۸	
۹/۳۲	-۰/۰۰۰۳۱	۰/۰۲۰۱۴		۳۷۳	



شکل ۶ - مقدارهای تجربی و محاسبه شده فشار جزئی کربن دی اکسید با استفاده از روش دوم و طرح تجمعی ۴C در محلول آبی دارای ۳۵ درصد وزنی آمین، داده‌های آزمایشگاهی از مرجع [۲۵].

شکل ۵ - مقدارهای تجربی و محاسبه شده فشار جزئی کربن دی اکسید با استفاده از روش دوم و طرح تجمعی ۴C در محلول آبی دارای ۵ درصد وزنی آمین، داده‌های آزمایشگاهی از مرجع [۲۴].

که در غلظت‌های بالای آمین این تجمع کاهش می‌یابد. این امر می‌تواند ناشی از این موضوع باشد که یا سازوکار جذب کربن دی اکسید در آمین در غلظت‌های بالاتر تغییر می‌کند یا تجمع جانبی بین کربن دی اکسید و متیل دی اتانول آمین در غلظت‌های بالاتر آمین کم می‌شود و چون طرح انتخاب شده برای کربن دی اکسید طرح تجمعی ۴C است که در این طرح تجمعی کربن دی اکسید می‌تواند با چهار سایت با مولکول‌های دیگر ایجاد پیوند تجمعی کند بنابراین برای این که تجمع کم شود مقدار انرژی تجمعی کم شده است.

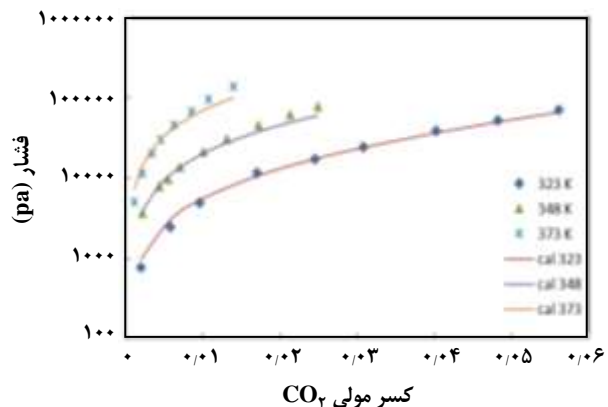
### نتیجه‌گیری

در این کار، تعادل بخار - مایع (VLE) سامانه سه تایی کربن دی اکسید - آب - متیل دی اتانول آمین در دماهای گوناگون و در درصدهای وزنی متفاوت متیل دی اتانول آمین به منظور محاسبه حلالیت کربن دی اکسید در محلول متیل دی اتانول آمین با استفاده از معادلهٔ حالت مکعبی به اضافهٔ تجمعی (CPA) مدل‌سازی شده است. نتیجه‌های به دست آمده از هر دو روش بسیار همانند می‌باشد. نتیجه‌های به دست آمده با استفاده از معادلهٔ CPA هم خوانی خوبی با داده‌های آزمایشگاهی برای سامانه ۴C سه تایی دارد. نتیجه‌های به دست آمده از طرح تجمعی ۳B و ۳D بودند. مقایسهٔ نتیجه‌های به دست آمده از این کار با مدل‌های نشان می‌دهد. مقایسهٔ نتیجه‌های به دست آمده از این کار با مدل‌های (N-Wilson-NRF) و (Clegg-Pitzer)

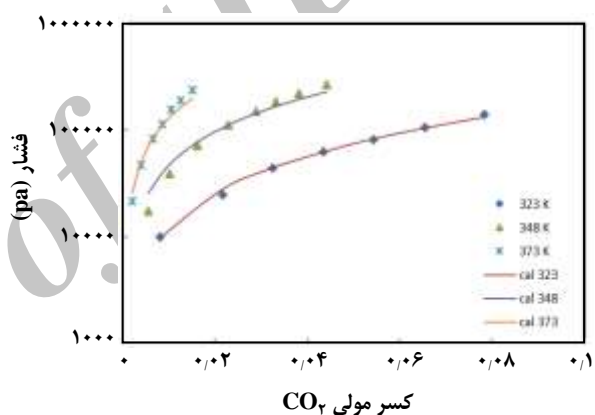
متیل دی اتانول آمین نشان می‌دهد که نتیجه‌های به دست آمده از مدل CPA و طرح تجمعی ۴C برای CO<sub>2</sub> نسبت به دو مدل دیگر رضایت‌بخش‌تر است. با توجه به نتیجه‌ها، با افزایش دما میزان انحراف از مقدارهای تجربی در همهٔ حالت‌ها بیش‌تر شده است که این امر نشان دهندهٔ حساسیت معادلهٔ حالت CPA نسبت به تغییرهای دمایی می‌باشد.

### فهرست نمادها

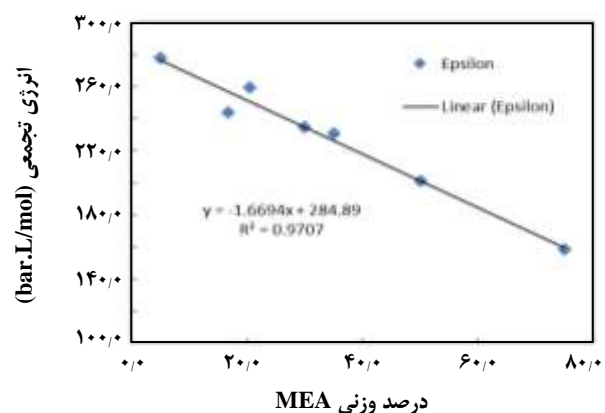
a <sub>0</sub>	پارامتر انرژی، bar.dm <sup>6</sup> /mol <sup>3</sup>
A <sub>i</sub>	سایت A در مولکول i
B <sub>j</sub>	سایت B در مولکول j
B	پارامتر حجم، dm <sup>3</sup> /mol
c <sub>1</sub>	پارامتر انرژی
G	تابع توزیع شعاعی
k <sub>ij</sub>	ارامتر برهم کنش دوجزی



شکل ۷- مقدارهای تجربی و محاسبه شده فشار جزئی کربن دی اکسید با استفاده از طرح ۴C در محلول آبی دارای ۵۰ درصد وزنی آمین، داده‌های آزمایشگاهی از مرجع [۲۴].



شکل ۸- مقدارهای تجربی و محاسبه شده فشار جزئی کربن دی اکسید با استفاده از روش دوم و طرح تجمعی ۴C در محلول آبی دارای ۷۵ درصد وزنی آمین، داده‌های آزمایشگاهی از مرجع [۲۴].



شکل ۹- تغییر انرژی تجمعی به دست آمده بین CO<sub>2</sub> و متیل دی اتانول آمین با تغییر درصد وزنی آمین.

$\beta^{AiBj}$	پارامتر حجم تجمعی	P	فشار
$\varepsilon^{AiBj}$	پارامتر انرژی تجمعی، bar.dm³/mol	T	دما
$\rho_i$	دانسیته مولی	R	ثابت گازها
$\Delta^{AiBj}$	قدرت تجمعی	U	حجم مولی
		$x_i$	جزء مولی ماده A در فاز مایع
		$X_{Ai}$	کسری از سایت‌های تجمعی A روی مولکول i که پیوند بر قرار نکرده‌اند
	تاریخ دریافت: ۱۳۹۲/۱۰/۲   تاریخ پذیرش: ۱۳۹۳/۷/۶	Z	ضریب تراکم پذیری

## مراجع

- [1] Danckwerts P.V., McNeil K.M., **The Absorption of Carbon Dioxide into Aqueous Amine Solutions and the Effects of Catalysis**, *Trans. Inst. Chemical Engineers*, **45**: 32-49 (1967).
- [2] Kent R.L., Eisenberg B., **Better Data for Amine Treating**, *Hydrocarbon Process*, **55**: 87-90 (1976).
- [3] Jou F.Y., Mather A.E., Otto F.D., **Solubility of H<sub>2</sub>S and CO<sub>2</sub> in Aqueous Methyldiethanolamine Solutions**, *Industrial and Engineering Chemistry Process Design and Development*, **21**: 539-544 (1982).
- [4] Deshmukh R.D., Mather A.E., **A Mathematical Model for Equilibrium Solubility of Hydrogen Sulfide and Carbon Dioxide in Aqueous Alkanolamine Solutions**, *Chemical Engineering Science*, **36**: 355-362 (1981).
- [5] Austgen D.M., Rochelle G.T., Chen C.C., **Model of Vapour-Liquid Equilibria for Aqueous Gas-Alkanolamine Systems. 2. Representation of H<sub>2</sub>S and CO<sub>2</sub> Solubility in Aqueous MDEA and CO<sub>2</sub> Solubility in Aqueous Mixtures of MDEA with MEA or DEA**, *Industrial and Engineering Chemistry Research*, **30**: 543-555 (1991).
- [6] Posey M.L., Rochelle G.T., **A thermodynamic Model of Methyldiethanolamine-CO<sub>2</sub>-H<sub>2</sub>S-Water**, *Industrial and Engineering Chemistry Research*, **36**: 3944-3953 (1997).
- [7] Gabrielsen J., Michelsen M.L., Stenby E.H., Kontogeorgis G.M., **A Model for Estimating CO<sub>2</sub> Solubility in Aqueous Alkanolamines**, *Industrial and Engineering Chemistry Research*, **44**: 3348-3354 (2005).
- [8] Haghtalab A., Shojaeian A., **Modeling Solubility of Acid gases in Alkanolamines Using the Nonelectrolyte Wilson-Nonrandom Factor Model**, *Fluid Phase Equilibria*, **289**: 6–14 (2010).
- [9] Haghtalab A., Dehghani Tafti M., **Electrolyte Uniquac-NRF Model to Study the Solubility of Acid Gases in Alkanolamines**, *Industrial and Engineering Chemistry Research*, **46**: 6053-6060 (2007).
- [10] Goharrokhi M., Taghikhani V., Ghotbi C., Safekordi A.A., Najibi H., **Correlation and Prediction of Solubility of CO<sub>2</sub> in Amine Aqueous Solutions**, *Iranian Journal of Chemistry and Chemical Engineering (IJCCE)*, **29**(1): 111-124 (2010).

- [11] Téllez-Arredondo P., Medeiros M., **Modeling CO<sub>2</sub> and H<sub>2</sub>S Solubilities in Aqueous Alkanolamine Solutions via an Extension of the Cubic-Two-State Equation of State**, *Fluid Phase Equilibria*, **344**: 45-58 (2013).
- [12] Zoghi A.T., Feyzi F., Dehghani M.R., **Modeling CO<sub>2</sub> Solubility in Aqueous N-Methyldiethanolamine Solution by Electrolyte Modified Peng-Robinson Plus Association Equation of State**, *Industrial & Engineering Chemistry Research*, **51**: 9875-9885 (2012).
- [13] Haghtalab A., Mazloumi S.H., **Electrolyte Cubic Square-Well Equation of State for Computation of the Solubility CO<sub>2</sub> and H<sub>2</sub>S in Aqueous MDEA Solutions**, *Industrial & Engineering Chemistry Research*, **49**: 6221–6230 (2010).
- [14] Vallée, G., Mougin, P., Jullian, S., Fürst, W., **Representation of CO<sub>2</sub> and H<sub>2</sub>S Absorption by Aqueous Solutions of Diethanolamine Using an Electrolyte Equation of State**, *Industrial and Engineering Chemistry Research*, **38**: 3473-3480 (1999).
- [15] Chunxi L., Fürst W., **Representation of CO<sub>2</sub> and H<sub>2</sub>S in Aqueous MDEA Solutions Using an Electrolyte Equation of State**, *Chemical Engineering Science*, **55**: 2975-2988 (2000).
- [16] Button J.K., Gubbins K.E., **SAFT Prediction of Vapor Liquid Equilibria of Mixtures Containing Carbon Dioxide and Aqueous Monoethanolamine or Diethanolamine**, *Fluid Phase Equilibria*, **158-160**: 175-181 (1999).
- [17] Nasrifar Kh., Tafazzol A.H., **Vapor-Liquid Equilibria of Acid Gas-Aqueous Ethanolamine Solutions Using the PC-SAFT Equation of State**, *Industrial and Engineering Chemistry Research*, **49**: 7620-7630 (2010).
- [18] Tsivintzelis I., Kontogeorgis G.M., Michelsen M.L., Stenby E.H., **Modeling Phase Equilibria for Acid gas Mixtures Using the CPA Equation of State. Part II: Binary Mixtures with CO<sub>2</sub>**, *Fluid Phase Equilibria*, **306**: 38–56 (2011).
- [19] Oliveira M.B., Queimada A.J., Kontogeorgis G.M., Coutinho J.A.P., **Evaluation of the CO<sub>2</sub> Behavior in Binary Mixtures with Alkanes, Alcohols, Acids and Esters Using the Cubic-Plus-Association Equation of State**, *The Journal of Supercritical Fluids*, **55**: 876-892 (2011).
- [20] Kaarsholm M., Derawi S.O., Michelsen M.L., Kontogeorgis G.M., **Extension of the Cubic-plus-Association (CPA) Equation of State to Amines**, *Industrial and Engineering Chemistry Research*, **44**: 4406-4413 (2005).
- [21] Avlund A.S., Kontogeorgis G.M., Michelsen M.L., **Modeling Systems Containing Alkanolamines with the CPA Equation of State**, *Industrial and Engineering Chemistry Research*, **47**: 7441–7446 (2008).
- [22] Kontogeorgis G.M., Yakoumis I.V., Meijer H., Hendriks E., Moorwood T., **Multicomponent Phase Equilibrium Calculations for Water-Methanol-Alkane Mixtures**, *Fluid Phase Equilibria*, **158-160**: 201–209 (1999).
- [23] Breil M.P., Tsivintzelis I., Kontogeorgis G.M., **Modeling of Phase Equilibria with CPA Using the Homomorph Approach**, *Fluid Phase Equilibria*, **301**:1-12 (2011).

- [24] Rho S-W., Yoo K-P., Lee J.S., Nam S.C., Son J.E., Min B.M., Solubility of CO<sub>2</sub> in Aqueous Methyldiethanolamine Solutions, *Journal of Chemical and Engineering Data*, **42**: 1161-1164 (1997).
- [25] Chakma A. and Meisen A., Solubility of CO<sub>2</sub> in Aqueous Methyldiethanolamine and N,N-Bis(hydroxyethyl) Piperazine Solutions, *Industrial and Engineering Chemistry Research*, **26**: 2461-2466 (1987).
- [26] Li Y.G., Mather A.E., Correlation and Prediction of the Solubility of CO<sub>2</sub> and H<sub>2</sub>S in Aqueous Solutions of Methyldiethanolamine, *Industrial and Engineering Chemistry Research*, **36**: 2760-2765 (1997).

Archive of SID